

Étude numérique de l'effet de la portance inverse pour un fluide de Bingham autour d'un obstacle

Z.SALLOUM^{a,b}, G.MOMPEAN^b et T.ZAMBRANO^{b,c}

salloum@ul.edu.lb ; gilmar.mompean@polytech-lille.fr ; tc.zambrano@ed.univ-lille1.fr

a. *Université Libanaise, Faculté de Sciences-I, Département de Mathématiques, Beyrouth, Liban*

b. *Laboratoire de Mécanique de Lille, UMR-CNRS 8107, Polytech'Lille, Cité Scientifique, 59655 Ville-neuve d'Ascq Cedex, France*

c. *Université Centrale du Venezuela (UCV), Cité Universitaire, 1053 Caracas, Venezuela.*

Résumé. Ce travail porte sur la simulation numérique d'un écoulement de fluide non-Newtonien (Bingham) autour d'un obstacle en forme de profil hydrodynamique. La méthode des volumes finis avec un maillage orthogonale généralisée est utilisée. Les résultats du calcul montrent une portance inverse pour l'écoulement du fluide de Bingham en régime laminaire. Ceci est qualitativement en accord avec des résultats expérimentaux concernant la portance inverse obtenus par B. Dollet et *al.* (Physical Review Letters, 2005, [1]) pour une solution mousseuse.

Abstract. The purpose of this work is the numerical simulation of non-Newtonian fluid flow (Bingham) around an obstacle in the form of hydrodynamic profile. We use the finite volume method with the generalized orthogonal coordinates. In the case of Bingham fluid flow, the simulation results show the presence of a downwards lift, opposite to the lift usually known in the newtonian case. This results is qualitatively in agreement with the experimental results concerning inverse lift obtained by B. Dollet and *al.* (Physical Review Letters, 2005, [1]) with a foam solution.

Mots clefs. Fluide de Bingham, volumes finis, portance, seuil des contraintes.

1 Introduction

Dans le domaine de la mécanique de fluide, la portance est une force normalement perpendiculaire au déplacement du fluide qui apparaît lors qu'il y a une différence de pression entre les deux cotés de l'obstacle. Dans le cas d'un obstacle en forme de profil hydrodynamique par exemple, la portance est créée par le déséquilibre de la pression au dessous et au dessus du profil et cette portance est normalement dirigée vers le haut. Toutefois une équipe de chercheurs du laboratoire de mécanique de Grenoble a découvert un nouveau effet, s'agissant d'une portance inverse, en plaçant un profil hydrodynamique dans un écoulement de fluide viscoélastique. Le fluide considéré pour cette expérience est une solution mousseuse obtenue notamment à l'aide de produit de vaisselle commercial (Taci, Henkel) et d'azote. Un profil est plongé dans un écoulement de cette mousse tout en étant maintenue à une base fixe à l'aide d'une fibre élastique. Le profil est libre de tourner autour de cette fibre. Le débit de l'écoulement est de 50 ml/min et sa vitesse moyenne de 2,7 mm/s. Ce qui est remarquable dans cette expérience est l'effet de portance observé, qui est orienté vers le coté opposé, contrairement à un cas classique. Les chercheurs ont suggéré que cet effet de portance inverse était dû au caractère viscoélastique du fluide. Le but de ce travail est donc de chercher par une simulation numérique si un fluide non-newtonien entraîne ce phénomène de portance inverse. Nous effectuons la simulation sur un écoulement d'un fluide de Bingham autour d'un obstacle en forme de profil hydrodynamique. Le fluide de Bingham présente un seuil de contrainte nécessaire pour démarrer l'écoulement mais ne possède pas de élasticité. Cette étude montre non seulement la présence d'une portance inverse mais aussi l'importance et l'influence du seuil d'un fluide sur la négativité de cette portance. Notons que le fluide de Bingham était l'objet de plusieurs travaux mathématiques [3] et numériques. L'étude numérique d'écoulement de Bingham, a été faite dans de nombreuses publications, citons par exemple : [4, 8] pour d'écoulement stationnaire

dans des domaines bidimensionnels, [6, 9] pour l'écoulement dans les tuyaux cylindriques et [5] pour l'écoulement non-stationnaire du Bingham.

2 Modèle Mathématique

Dans l'hydrodynamique des fluides isothermes et incompressibles, l'écoulement d'un fluide s'écrit sous la forme,

$$\begin{cases} \rho(\partial_t \mathbf{u} + (\mathbf{u} \cdot \nabla) \mathbf{u}) &= \operatorname{div} \sigma, \\ \operatorname{div} \mathbf{u} &= 0, \end{cases} \quad (2.1)$$

où ρ est la densité du masse, \mathbf{u} est la vitesse, σ est le tenseur des contraintes (tenseur symétrique). De plus, nous pouvons décomposer σ de la manière suivante : $\sigma = \tau - pI$ où τ désigne la partie tangentielle du tenseur alors que pI est la partie normale (p est la pression). Dans le cas d'un fluide newtonien, τ dépend linéairement de $\nabla \mathbf{u}$ de la manière suivante, $\tau = 2\nu \mathbf{D}[\mathbf{u}]$, où $\mathbf{D}[\mathbf{u}] = \frac{1}{2}(\nabla \mathbf{u} + \nabla^T \mathbf{u})$ est le tenseur des taux de déformation et ν est la viscosité du fluide ($\nu > 0$). Alors, dans le cas d'un fluide newtonien incompressible, le système (2.1) prend la forme :

$$\begin{cases} \rho(\partial_t \mathbf{u} + (\mathbf{u} \cdot \nabla) \mathbf{u}) - \nu \Delta \mathbf{u} + \nabla p &= 0, \\ \operatorname{div} \mathbf{u} &= 0. \end{cases}$$

Il est bien connu que plusieurs fluides ne satisfont pas la loi newtonienne $\tau = 2\nu \mathbf{D}[\mathbf{u}]$. Lorsque la viscosité n'est plus indépendante du taux de cisaillement, il est nécessaire d'utiliser plusieurs paramètres pour décrire le comportement mécanique du fluide. Le caractère non newtonien le plus répandu est la variation de la viscosité avec la vitesse de cisaillement. Ce type de comportement est de loin le plus fréquent. Il concerne les polymères à longues chaînes en solution ou à l'état fondu, les pâtes à papier, les colles, les ciments. Un autre comportement est la viscoélasticité. Un certain nombre de modèles empiriques permettent la description non-newtonienne, citons par exemple les modèles d'Ericksen-Rivlin [10] ou les modèles introduits par Ladyzhenskaya [7], ou par Oldroyd. Dans ces modèles, le tenseur τ dépend de $\mathbf{D}[\mathbf{u}]$ d'une manière non linéaire. Dans le système adimensionné, il apparaît des nombres sans dimension tels que le Reynolds, $\operatorname{Re} = \frac{\rho U L}{\mu}$ où U , L et μ sont respectivement la vitesse, la longueur caractéristique et la viscosité dynamique du fluide.

Un autre type de fluide non newtonien est souvent dit fluide à seuil ou plastiques ou fluides de Bingham. Ce sont des liquides dits "à seuil", c.à.d. qu'ils ne subissent pas de mouvement avant que la contrainte qui leur est appliquée ne dépasse une certaine limite qu'on appelle contrainte seuil. Ces fluides ne s'écoulent que si la contrainte appliquée est supérieure à une valeur seuil, comme par exemple la pâte de dentifrice. La loi de comportement s'écrit

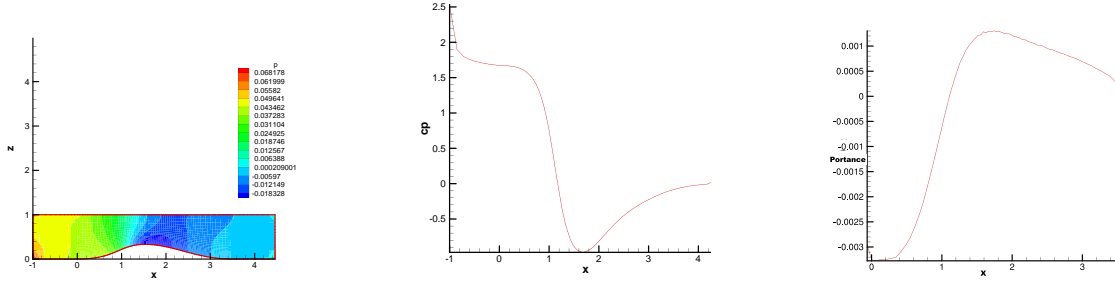
$$\begin{cases} \tau = \tau_0 + 2\nu \mathbf{D}[\mathbf{u}] & \text{si } \|\tau\| \geq \tau_0 \\ \mathbf{D}[\mathbf{u}] = 0 & \text{si } \|\tau\| < \tau_0, \end{cases}$$

tels que τ_0 est la contrainte seuil et $\|\tau\|$ est la mesure du contrainte. Remarquons que ces équations expriment l'effet de seuil : le fluide se déforme lorsque la mesure du contrainte atteint le seuil τ_0 . Dans le cas contraire, le mouvement est celui d'un solide (pas de déformation).

3 Méthodes des volumes finis

La méthode des volumes finis est utilisée pour obtenir la forme discrétisée des équations. Cette méthode permet la résolution des équations de la mécanique des fluides en intégrant les équations de conservation sur des volumes finis jointifs recouvrant l'ensemble du domaine d'étude.

trainée soit essentiellement due aux forces visqueuses et on retrouve également une portance positive, valeur que l'on attendait bien évidemment. On affiche ensuite la distribution de pression dans la surface maillée pour $Re = 262.39$ (Figure à gauche). Ensuite, on affiche les valeurs locales du coefficient de pression C_p le long du profil pour $Re = 266.67$ (Figure au centre). Pour visualiser la portance en action sur le profil, on affiche la portance obtenue à chaque point de l'obstacle pour $Re = 277.78$ (Figure à droite).



Le résultat est bien celui attendu pour la pression, il existe une dépression au dessus du profil. La dépression est marquée par la diminution du C_p . On remarque bien que la portance est due en grande partie à l'action de pression.

4.2 Écoulement Non-Newtonien

Lorsque l'écoulement est non-newtonien (Bingham), nous calculons également les valeurs des C_p , C_x , C_z , Trainée et Portance pour le même trois nombres de Reynolds : $Re = 262.39$, $Re = 266.67$ et $Re = 277.78$ avec un seuil 0.005.

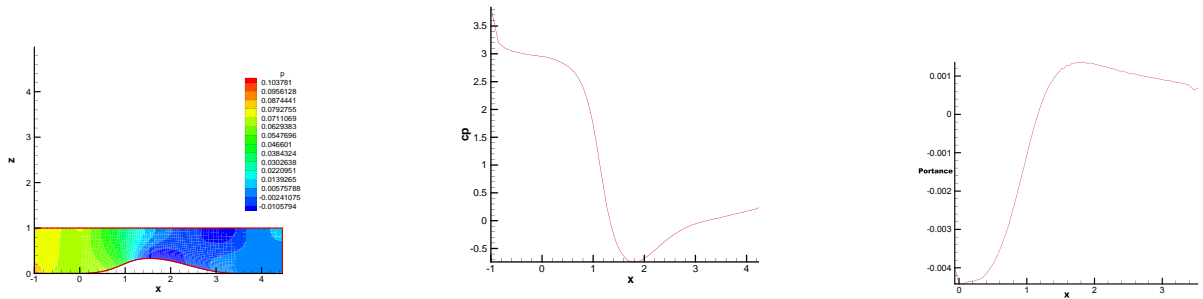
De même pour le fluide de Bingham, on affiche les valeurs locales du coefficient de pression C_p le long du profil pour $Re = 262.39$ (Figure à gauche). On visualise ensuite la distribution de pression dans la surface maillée pour $Re = 266.67$ (Figure au centre). Enfin, la portance en action sur le profil est affiché à chaque point de l'obstacle pour $Re = 277.78$ (Figure à droite).

	Re= 262.39	Re=266.67	Re=277.78
C_p	0.1843E+00	0.1773E+00	0.1554E+00
C_x	0.2551E+00	0.2524E+00	0.2458E+00
C_z	0.3245E-02	0.8896E-02	0.2170E-01
Trainée	0.2414E-01	0.1887E-01	0.2871E-01
Portance	0.3071E-03	0.6651E-03	0.2535E-02

TABLE 1 – C_p , C_x , C_z , trainée et portance pour un écoulement newtonien.

	Re= 262.39	Re=266.67	Re=277.78
C_p	0.6405E+00	0.7309E+00	0.5417E+00
C_x	0.3311E+00	0.3526E+00	0.3080E+00
C_z	- 0.1102E+00	-0.1060E+00	-0.8730E-01
Trainée	0.3133E-01	0.2636E-01	0.3598E-01
Portance	- 0.1043E-01	-0.7925 E-02	-0.1020E-01

TABLE 2 – C_p , C_x , C_z , trainée et portance pour un fluide de Bingham.



On remarque que la pression au dessus de la bosse reste faiblement négative mais elle est moins répandue. La positivité de C_p est bien clair et on peut voir facilement la différence avec C_p obtenue dans le cas newtonien avec le même nombre de Reynolds. La valeur de la force de portance est négative. On en déduit que la portance est dirigée vers le bas. La traînée reste, quant à elle, positive.

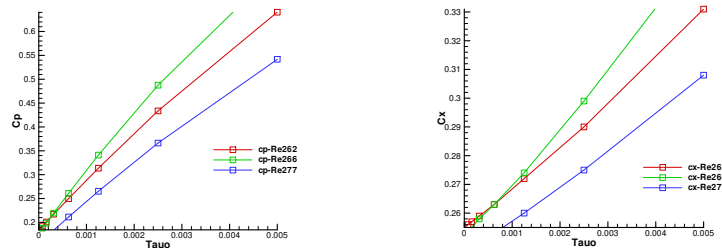
4.3 Influence de seuil sur la portance

A cause de difficulté de trouver le seuil d'un tel écoulement d'un fluide de Bingham, nous calculons la valeur de la portance avec différent valeurs de seuil τ_0 . Nous remarquons que la portance décroît avec l'augmentation du seuil puis elle sera négative.

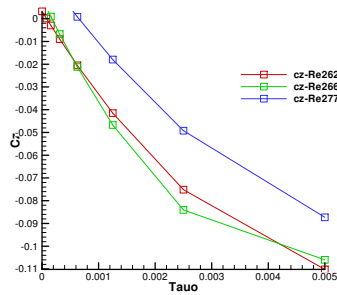
Portance pour :	Re= 262.39	Re=266.67	Re=277.78
$\tau_0 = 0$	0.3071E-03	0.6651E-03	0.2535E-02
$\tau_0 = 0.78125E-04$	0.1181 E-04	0.3646E-03	0.2217E-02
$\tau_0 = 0.15625E-03$	-0.2793E-03	0.6946E-04	0.1902E-02
$\tau_0 = 0.3125E-03$	-0.8493E-03	-0.5045E-03	0.1284E-02
$\tau_0 = 0.625E-03$	-0.194E-02	-0.1588E-02	0.9506E-04
$\tau_0 = 0.125E-02$	-0.3925E-02	-0.3494E-02	-0.2098E-02
$\tau_0 = 0.25E-02$	-0.7111E-02	-0.6283E-02	-0.5749E-02
$\tau_0 = 0.5E-02$	- 0.1043E-01	-0.7925 E-02	-0.1020E-01

TABLE 3 – Influence de changement du seuil sur la portance.

Nous essayons maintenant de poursuivre graphiquement l'influence du valeur de τ_0 sur les trois grandeurs adimensionnels : C_p , C_x et C_z . Tout d'abord, nous remarquons que l'augmentation de C_p par rapport à τ_0 est harmonieux pour les trois nombres de Reynolds, ainsi que pour le C_x .



Pour C_z , il est clair l'influence du seuil. Le fluide de Bingham ne donne une portance négative qu'à partir un seuil. Par contre, sa valeur positive diminue avec l'augmentation de τ_0 . Une fois que les contraintes dépassent le seuil, qui d'ailleurs n'est pas fixe pour les trois nombres de Reynolds, l'effet d'une portance négative apparaissent et la valeur du coefficient de portance croît avec l'augmentation de τ_0 .



5 Conclusion

Dans ce travail, un écoulement bi-dimensionnel d'un fluide de Bingham autour d'un obstacle hydraulique est étudié numériquement en utilisant le système des coordonnées généralisées et la méthode des volumes finis en coordonnées orthogonales généralisées. Pour l'écoulement newtonien, une portance attendue dirigée vers le haut était trouvée pour trois nombres des Reynolds. Dans le cas d'un fluide non-newtonien et plus précisément le fluide dit de Bingham, l'effet d'une portance négative est observé.

Malgré la différence du nombre de Reynolds entre le calcul et l'expérience ce phénomène observé numériquement est en accord avec résultats expérimentaux concernant la portance inverse obtenus par B. Dollet et *al.* dans [1] pour une solution mousseuse. Des futurs travaux seront réalisés pour valider ces résultats numériques, avec une autre approche pour le fluide de Bingham, et aussi étudier ce type de comportement pour les fluides viscoélastiques.

Références

- [1] B. Dollet, M. Aubouy, and F. Graner, *Anti-Inertial Lift in Foams : A Signature of the Elasticity of Complex Fluids*, Physical Review Letters **95**, 168303, 2005.
- [2] G. Mompean, L. Thais, *Finite Volume Simulation of Viscoelastic Flows in General Orthogonal Coordinates*, Mathematics and Computers in Simulation, **80**, 2185-2199, 2010.
- [3] G. Duvaut, J.-L. Lions, *Inequalities in Mechanics and Physics*, Springer-Verlag, Berlin, 1976. Translated from the French by C. W. John, Grundlehren der Mathematischen Wissenschaften **219**.
- [4] P. Grinevich, M. Olshanskii, *An iterative method for the Stokes-type problem with variable viscosity*, SIAM Journal on Scientific Computing **31**(5), (2009) 3959-3978.
- [5] R. Glowinski, J.-L. Lions, R. Trémolières, *Numerical Analysis of Variational Inequalities*, in : Studies in Mathematics and its Applications **8**, North-Holland Publishing Co., Amsterdam, 1981. Translated from the French.
- [6] R. Glowinski, *Numerical Methods for Nonlinear Variational Problems*, in : Springer Series in Computational Physics, Springer-Verlag, New York, 1984.
- [7] O.A. Ladyzhenskaya and G.A. Seregin, *Regularity of solutions of two-dimensional equations in fluid dynamics models with nonlinear viscosity*, J. Math. Sci., **109**(5), pp. 1911-1927, 2002.
- [8] J.C. De Los Reyes and S. Andrade, *Numerical simulation of two-dimensional Bingham fluid flow by semismooth Newton methods*, J. of Computational and Applied Mathematics **235**(1), (2010), 11-32.
- [9] J.C. De Los Reyes and S. González, *Path following methods for steady laminar Bingham flow in cylindrical pipes*, M2AN. Mathematical Modelling and Numerical Analysis **43**(1), (2009), 81-117.
- [10] M. Slemrod, *Constitutive relations for Rivlin-Ericksen fluids based on generalized rational approximation*, Arch. Ration. Mech. Anal. **146**(1), pp. 73-93, 1999.